



( ),  
 17 1999  
 112 ( 30 1999  
 424/3717 -  
 17.06.99 424/3717).

( ),  
 ( )  
 ),  
 ( ) .

[1, 2, 4, 5, 6, 8].

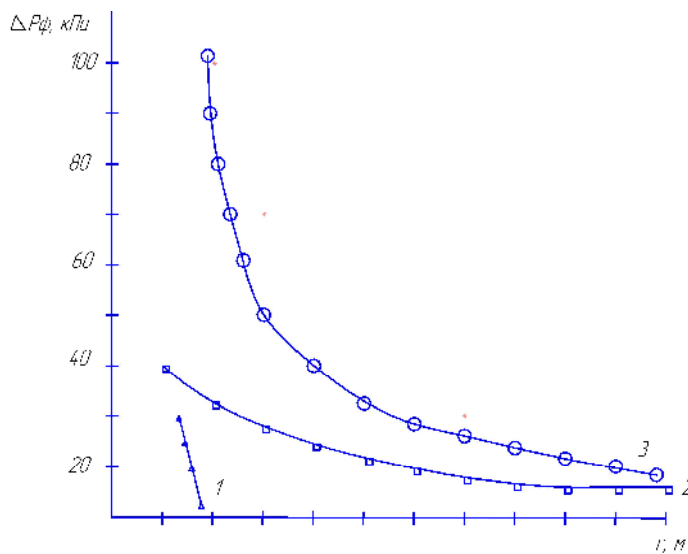
( ) [9, 3].

10  
 -  
 51 ;

100

z.

. 1, 1.



. 1.

[9]; 2-

: 1 -

3-

[1, 2, 8]

[5];

[4]

« ».

[5]

[6]

[1, 2].

(4520 / ), 3,7 0,340 1,667 ,

[1, 2, 8]:

$$R = \frac{K \sqrt[3]{w_t}}{\left[1 + \left(\frac{3180}{w_t}\right)^2\right]^{1/6}},$$

$R$  – ;  $K$  –

;  $w_t$  –

»

~30 %,

~40 %.

[1, 2]

$r$  [3].  
 [1, 2] 3 [5], -  
 .  
 .  
 .  
 ( ),  
 ,  
 , ( )  
 ( ) .  
 , , , .  
 , . , , ,  
 .  
 ( ), , ,  
 . . [1].  
 :  
 ( , ; ),  
 , ( , ) .  
 , , [3].  
 10 % , , , , ,  
 10 % , , , , ,  
 .

, , [6],  
 , :

$$M = \int_{\Sigma} \int_{\langle V \rangle \Sigma} e(x, y, z, t_0) dx \cdot dy \cdot dz,$$

$V -$  ; , ,  $z -$  ;  $t_0 -$  . ;

1. ,

,  
 2. .

3.  $r$  . ,

3-5

4. « » [3] .

, , , , ,  
 5. [3] .

6. , , [5],

7. , .

, , , .

1. . /

. . - . : , 1991. - 430 .

2. : 2- . - . / . , .  
 , . ; . . . , . . - . : , 1986. - 319 .

3. / . . . , . . . , . . . , . . . , . . . , . . .  
//
2011. – 9. – .70–77.
4. / . . . , . . . .03.002-2007.– . – .15:  
.- .: " " . – .21–45.
5. 03-409-01. - -
- // .
6. -03-26-2007.
7. . . . - / . . . , . . . , . . . //  
. – 2009. – 4. – .175–180.
8. . . . , . . . . – ., 1999, 600 .
9. *Beccantini, A. Malczynski, E. Studer* Comparison of TNT-Equivalency Approach, TNO Multi-Energy Approach and a CRD Approach in Investigating Hemispheric Hydrogen-Air Vapor Cloud Explosions, 2007.

15.10.2012 .